

NIEKTORÉ POZNATKY Z EXPERIMENTÁLNEHO SKÚMANIA  
DYNAMICKÝCH NAPÄTÍ OCEĽOVÉHO MOSTA

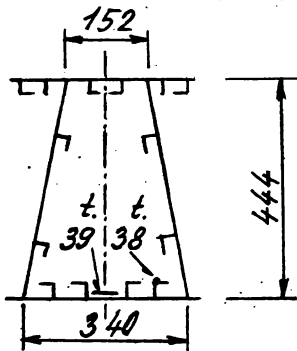
Doc. Ing. Ľudovít Šmáľ CSc,  
VŠDS Žilina, Katedra mechaniky

1. Uvádzame niektoré výsledky dynamickej tenzometrie u nového železničného viaduktu v Ivančiciach na trati Hrušovany - Strelice. Konštrukcia viaduktu je navrhnutá ako ocelový spojity nosník skriňového priezvu /obr. 1/ so 6 poliami, s rozpäťami:  $L_1 = 46,8 \text{ m}$  -  $L_2 = 57,6 \text{ m}$  -  $L_3 = 64,8 \text{ m}$  -  $L_4 = 68,4 \text{ m}$  -  $L_5 = 79,2 \text{ m}$  -  $L_6 = 68,4 \text{ m}$ .

Dynamickú zatažovaciu skúšku vykonal v októbri 1978 kolektív pracovníkov katedry stavebnej mechaniky VŠDS Žilina. S cieľom získania dynamickej odozvy mosta sa realizovali viaceré druhy zataženia:

- jazda parnou lokomotívou 524.1
- jazda dieselelektrickou lokomotívou T 679.1
- rozkmitanie mosta mechanickým budičom KSM-VŠDS
- rozkmitanie mosta pomocou impulzných raketových motorov
- jazda nákladného vlaku s celkovej hmotnosti  $M = 1574 \text{ t}$

Dynamická tenzometria sledovala určenie časového priebehu napäti vo 2 priečnych rezoch: A-A /obr. 1 - uprostred pola  $L_5$  /, B-B /nad podporou na styku polí  $L_5$  a  $L_6$  /.



Obr. 1  
rez A-A

Tenzometrické meranie bolo urobené v spolupráci VŠDS a ŠAM-VŽKG Brno. Príslušná meracia centrála /ŠAM-VŽKG/ bola si-tuovaná pod polom L<sub>6</sub>. Pritom sa užila tenzometrická aparátura HOTTINGER-BALDWIN-KWS/5T-5. Do 2 rezov A-A, B-B bolo sústrede-ných 22 meracích miest /tenzometrov/. Užili sa odporové ten-zometre typu 10/120-LY 11 - výrobca HOTTINGER-BALDWIN.

Pri vyhodnocovaní napäťia sme sa zamerali na účinok ten-zometrov v pozdĺžnom smere mosta ako aj na účinok tenzometrov zvislých a vodorovných v priečnom smere mosta. Vyhodnocovanie sa robilo za predpokladu jednoosového stavu napäťostí. Z tva-ru záznamov u pozdĺžnych tenzometrov vyplýva, že strednice stôp predstavujú v reze A-A tvar vplyvovej čiary medzipodpo-rového momentu a v reze B-B tvar vplyvovej čiary podporového momentu.

2. Z vyhodnotenia záznamov č. 1/A až 21/A v reze A-A, u jazdy lokomotívou 524.1 vyplýva, že

- maximálna nameraná statická zložka napäťia je u pozdĺžneho tenzometra t 38 /u výstuhy spodnej dosky/, a to u záznamu č. 1/A, pri rýchlosťi jazdy 5,4 km.h<sup>-1</sup>:

$$\max \sigma_{38} = / \pm / 19,20 \text{ MPa}$$

- maximálna nameraná dynamická zložka napäťia je u priečneho tenzometra t 39 /u spodnej dosky/, a to u záznamu č. 9/A, pri rýchlosťi 32,2 km.h<sup>-1</sup>:

$$\max \sigma_d = / \pm / 4,453 \text{ MPa}$$

3. Z vyhodnotenia záznamov č. 1/B až 21/B v reze B-B, u jazdy lokomotívou 524.1 plynie, že

- maximálna nameraná statická zložka napäťia je u priečneho stenového tenzometra t 150 /v spodnom rohu priečneho rezu/, a to u záznamu č. 4/B, pri rýchlosťi jazdy 10,3 km.h<sup>-1</sup>:

$$\max \sigma_{150} = / \pm / 11,622 \text{ MPa}$$

- maximálna nameraná dynamická zložka napäťia sa nachádza u priečneho doskového tenzometra t 108 /u hornej dosky/, a to u záznamu č. 15/B, pri rýchlosťi jazdy 51,4 km.h<sup>-1</sup>:

$$\max \sigma_{108} = / \pm / 3,581 \text{ MPa}$$

U všetkých priečnych tenzometrov v reze B-B vznikajú náhle zväčšenia dynamických napäťí celkovo pri 2 druhoch rý-chlosťi jazdy: c<sub>1</sub> ≈ 30 km.h<sup>-1</sup>, c<sub>2</sub> ≈ 51,5 km.h<sup>-1</sup>.

4. Závery z porovnania napäti získaných z dynamickej tenzometrie a kontrolného výpočtu napäti z ohybových momentov

4.1 Na základe porovnania napäti vypočítaných s napäťami získanými z dynamickej tenzometrie v 22 bodech vyplýva, že všetky namerané tenzometrické napäťia sú menšie ako vypočítané, pričom predstavujú veľkosti

$$\sigma_{\text{tenz}}^{\text{dyn}} = /55\% \text{ až } 80\% / \sigma_{\text{výp.}}$$

Tieto hodnoty sa vzťahujú na / + / M<sub>5</sub> v reze A-A, / - / M<sub>5</sub> v reze B-B pre zaťaženie lokomotívou 524.1

4.2 Z bližšej špecifikácie dostávame, že

- u rezu A-A platí prevážne  $\sigma_{\text{tenz}}^{\text{dyn}} = /55\% \text{ až } 70\% / \sigma_{\text{výp.}}$

- u rezu B-B platí prevážne odlišný vzťah, a to

$$\sigma_{\text{tenz}}^{\text{dyn}} = /60\% \text{ až } 80\% / \sigma_{\text{výp.}}$$

4.3 Podobné závery platia aj pre zaťaženie lokomotívou T 679.1 a pre zaťaženie nákladným vlakom.

4.4 Pre porovnanie uvádzame i výsledky statických napäťí, ktoré boli získané jednak z teoretického výpočtu a jednak zo statickej tenzometrie. Tak napr. v reze B-B sme dostali

$$\sigma_{\text{bh}} = + 65,04 \text{ MPa} > 48,3 \text{ MPa} / 74,26\% / - \text{pravá s.} \\ > 46,2 \text{ MPa} / 71,03\% / - \text{ľavá s.}$$

$$\sigma_{\text{bd}} = /-/ 62,99 \text{ MPa} > /-/ 42,0 \text{ MPa} / 66,68\% / - \text{pravá s.} \\ > /-/ 41,7 \text{ MPa} / 66,20\% / - \text{ľavá s.}$$

Taktiež z ďalších výsledkov vyplýva, že všetky namerané tenzometrické statické napäťia sú zas menšie ako vypočítané hodnoty, pričom približne platí:

$$\sigma_{\text{tenz}}^{\text{stat}} = /67\% \text{ až } 82\% / \sigma_{\text{výp.}}$$

4.5 Z porovnania výsledkov statických zložiek napäti získaných z dynamickej tenzometrie a statických napäťí získaných zo statickej tenzometrie vyplýva, že dynamická tenzometria nám dala prevážne o 8 až 14% menšie hodnoty statických zložiek napäti ako statická tenzometria.

Na vytvorenie uvedeného rozdielu prispievajú podstatnou miere nasledovné vplyvy:

a/ Vplyv dĺžky doby zaťaženia: Pri dynamickom zaťažení lokomotíva jazdiaca rýchlosťou v priemere  $10 \text{ km.h}^{-1}$ , t.j.  $2,78 \text{ m s}^{-1}$  zaťažuje pole  $L_5 = 79,20 \text{ m}$  za dobu 28,49 sek; podobne lokomotíva jazdiaca rýchlosťou  $60 \text{ km.h}^{-1}$  zaťažuje pole  $L_5 = 79,20 \text{ m}$  za dobu 4,75 sek.

Naproti tomu pri statickom zatažení lokomotíva zaťažuje most minimálne 15 minút, t.j. 900 sek., i keď podstatná časť pružného priehybu vznikne v prvých minútach zaťažovania. Je zrejmé, že sa tu uplatňuje časový faktor a s tým súvisiace reologické účinky.

b/ Konštrukcia uzavretého mostného prierezu je značne tuhá, nová a len pomaly sa prispôsobuje rýchlym zmenám pretvorenia od dynamických účinkov.

c/ Okrem toho mostná konštrukcia predstavuje spojity nosník, čo tým viacej prispieva ku zhoršenému sa prispôsobaniu konštrukcie rýchlym zmenám pretvorenia vytvoreným od vplyvu zotrvačných síl.

d/ Pri vyhodnocovaní dynamickej tenzometrie sme užili statický modul pružnosti ocele, t.j.  $E = 2,10 \cdot 10^8 \text{ kNm}^{-2}$ . Vzhľadom na uvedené časové závislosti dynamickej zaťažovacej skúšky, t.j. reologické vplyvy, bolo by možné užiť pri vyhodnocovaní dynamický modul pružnosti, ktorého hodnota pre danú oblasť kmitočtovú  $f_{/j} = 2,0 \text{ Hz}$  až  $10,0 \text{ Hz}$  sa môže uvažovať veľkosťou o cca 5% vyššou, t.j.  $E_{\text{dyn}} = 1,05 E_{\text{st}}$ . V tom prípade sa ešte viacej zvýrazní rozdiel vo výsledkoch medzi statickou a dynamickou tenzometriou /8,4 až 14,7%/.